

УДК 630*332.2.001.57

UDC 630*332.2.001.57

**МАТЕМАТИЧЕСКАЯ МОДЕЛЬ
ВЗАИМОДЕЙСТВИЯ РАБОЧЕГО ОРГАНА
ВЫКОПОЧНОЙ МАШИНЫ С ПОЧВОЙ И
КОРНЯМИ РАСТЕНИЙ**

**MATHEMATICAL MODEL OF WORKING UNIT
CO-OPERATION OF PLANT LIFTER WITH
SOIL AND PLANTS ROOTS**

Дручинин Денис Юрьевич
аспирант

Druchinin Denis Yurievich
post-graduate student

Дорняк Ольга Роальдовна
д.т.н., доцент

Dornyak Olga Roaldovna
Dr.Sci.Tech., associate professor

Драпалюк Михаил Валентинович
д.т.н., профессор
*Воронежская государственная лесотехническая
академия, Воронеж, Россия*

Drapaluk Mikhail Valentinovich
Dr.Sci.Tech., professor
Voronezh State Forestry Academy, Voronezh, Russia

Разработана математическая модель
взаимодействия рабочего органа выкопчной
машины с почвой и корнями растений для
оптимизации конструктивных параметров
выкопчной машины

The mathematical model of working unit co-operation
of plant lifter with soil and roots of plants for
optimization of plant lifter's different parameters is
developed

Ключевые слова: ВЫКОПКА САЖЕНЦЕВ,
МАТЕМАТИЧЕСКАЯ МОДЕЛЬ, ВЫКОПОЧНАЯ
МАШИНА

Keywords: PLANTLETS LIFTING,
MATHEMATICAL MODEL, PLANT LIFTER

Введение. В процессе непрерывного движения лезвия рабочего органа выкопчной машины в почве происходит дискретный динамический процесс перерезания корешков саженцев. Данный процесс должен обеспечить качественное перерезание корешков с ровным срезом без их смятия, разрывов и размочаливания, при этом работа и сила резания почвы, а также крошение почвы должны быть по возможности минимальны. Кроме того, должна быть обеспечена устойчивость хода ножа, его жесткость, высокая износостойкость и способность к самозатачиванию.

Актуальной остается задача повышения эффективности работы выкопчной машины за счёт выбора геометрических характеристик рабочего органа, таких как угол заточки лезвия, угол резания, форма

поверхности ковша и других. Для решения этой задачи может быть использован метод математического моделирования.

В [1] разработана математическая модель вибрационного процесса подрезки боковых корней сеянцев в питомниках, позволившая оптимизировать основные параметры корнеподрезчика с активным рабочим органом и снизить его энергозатраты. Уравнение движения рабочего органа здесь записано с учетом силы сопротивления резанию корня, а также усилия на штоке гидроцилиндра. В данной работе предложена математическая модель движения рабочего органа выкопчной машины, в которой рассмотрен более полный спектр сил сопротивления этому движению со стороны грунта и корней. Модель опирается на результаты широко известных исследований элементарных процессов резания и вдавливания [2-4].

Постановка задачи. Движение основного элемента выкопчной машины – двуплечего рычага АОВ, представляет собой вращение вокруг неподвижной оси OU (рисунок 1). Уравнение движения рычага имеет вид

$$I_{oy}\ddot{j} = M_{oy}(\overset{\mathbf{r}}{P}_{ГЦ}) + M_{oy}(\overset{\mathbf{r}}{G}_P) + \tilde{M}_{oy}, \quad (1)$$

где I_{oy} - момент инерции рычага относительно оси OU ; φ - угол поворота; $\overset{\mathbf{r}}{P}_{ГЦ}$ - сила давления, создаваемая в гидроцилиндре; $\overset{\mathbf{r}}{G}_P$ - сила тяжести рычага; \tilde{M}_{oy} - главный момент сил сопротивления движению рабочего органа относительно оси OU , являющийся нелинейной функцией угла поворота φ .

Рассмотрим распределение сил сопротивления движению рабочего органа выкопчной машины. Выделим для отдельного изучения элементы рабочего органа (рисунок 1):

- два режущих элемента (лезвия) в виде клиньев (p);
- боковые стенки ковша (n);
- рабочие поверхности ковша (k).

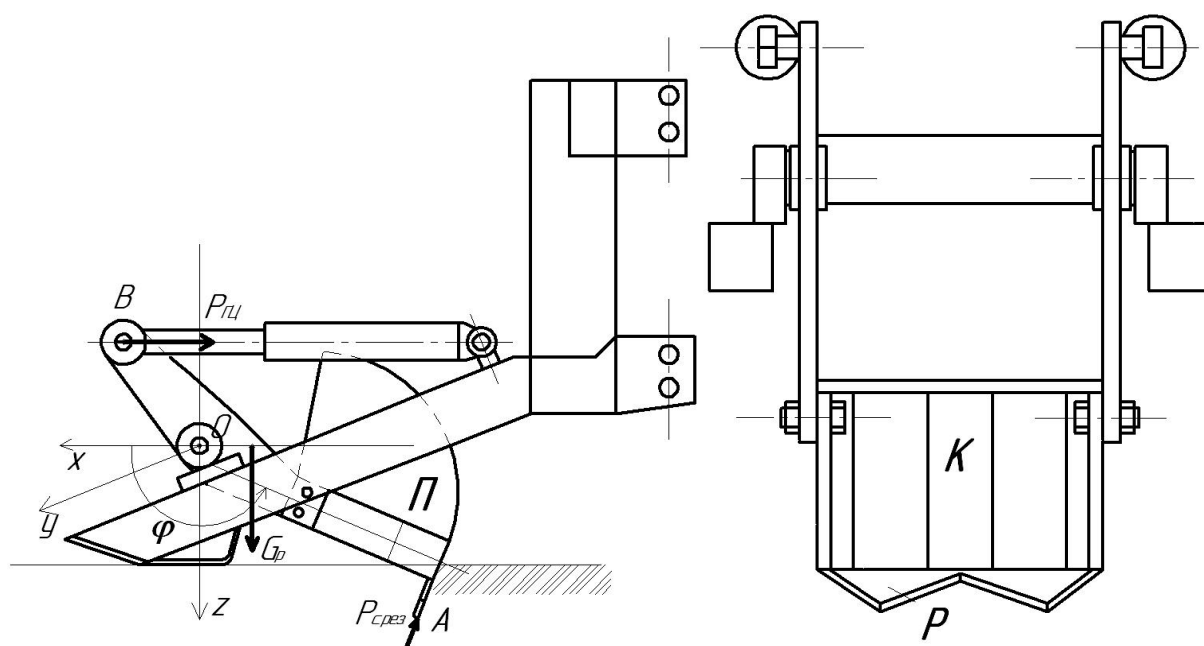


Рисунок 1 – Схема рабочего органа

Условия механического взаимодействия элементов рабочего органа с почвой качественно различны. Для определения \tilde{M}_{oy} , изменяющего свое значение в процессе движения рабочего органа, необходимо исследовать:

- сопротивление скользящего резания почвы с корнями растений в условиях изменяющихся угла резания и скорости скольжения;
- сопротивление вдавливанию рабочего периметра ковша – его боковых стенок, не имеющих режущих кромок (резание пуансоном) с учётом переменной высоты заглабления полуковша;
- сопротивление перемещению основания полуковша при изменяющихся величинах плотности и объёма призмы волочения.

Взаимодействие рабочего органа с почвой сопровождается сложным процессом ее деформирования и разрушения структуры. Математическая модель напряжённо-деформированного состояния системы рабочий орган-почва должна учитывать сложную структуру почвы, её многофазность, наличие включений органической природы – корней растений, а также сложное реологическое поведение, как почвы, так и материала корней.

Контактная задача такого типа является весьма сложной и пока далека от разрешения. В инженерной практике силы сопротивления резанию, вдавливанию могут быть вычислены на основе эксперимента, в котором с учётом многих факторов определяется так называемое удельное сопротивление [2-4]. Этот подход использован при разработке модели.

Сопротивление боковых стенок полуковша. Боковые стенки полуковша двигаются в плоскости, составляющей угол $\alpha_{II} = 10^\circ$ с вертикальной плоскостью. Примем, что профиль стенок испытывает преимущественно сопротивление сжатию грунта. Результирующая сила давления \mathbf{P}_{II} приложена в середине отрезка $|A_2B_2|$ (рисунок 2), а её величина

$$P_{II} = d_{II} |A_2B_2| \sigma_{II}, \quad (2)$$

где d_{II} - толщина боковых стенок; A_2B_2 - переменная длина части сечения стенки, находящейся в контакте с грунтом; σ_{II} - удельное сопротивление вдавливанию пуансона во взрыхленный грунт. Величина σ_{II} может быть получена из экспериментальных данных.

Вычислим текущее значение высоты A_2B_2 в зависимости от положения рычага, определяемого углом φ . Для этого найдем координаты точек A_2 и B_2 (рисунок 2). Используя очевидные векторные равенства $\mathbf{r}_{OA_2} = \mathbf{r}_{OA_1} + \mathbf{r}_{A_1A_2}$ и $\mathbf{r}_{OB_2} = \mathbf{r}_{OB_1} + \mathbf{r}_{B_1B_2}$, получим

$$x_{A_2} = H \operatorname{ctg} j + \frac{l_{II}}{2 \sin j}, \quad z_{A_2} = H; \quad (3)$$

$$x_{B_2} = R \cos j + \frac{l_{II}}{2} \sin j, \quad z_{B_2} = R \sin j - \frac{l_{II}}{2} \cos j. \quad (4)$$

Здесь H - расстояние от точки O на оси вращения рычага до поверхности почвы; $R = |OB_1|$, $l_{II} = |O_1O_2|$ - геометрические характеристики рабочего органа. Таким образом, величина $|A_2B_2| = \sqrt{(x_{A_2} - x_{B_2})^2 + (z_{A_2} - z_{B_2})^2}$ вычислена при любом положении рабочего органа относительно уровня почвы.

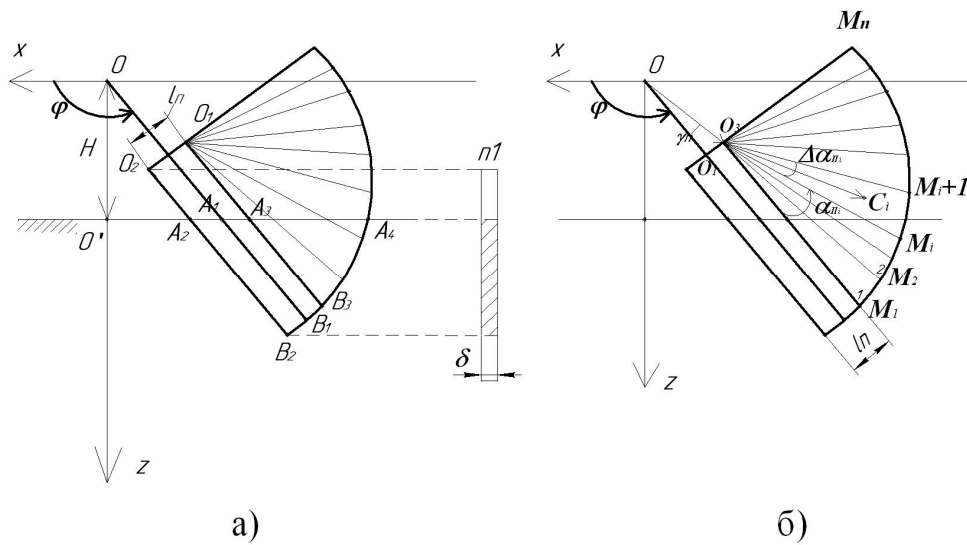


Рисунок 2 – Схема для расчёта сопротивления боковых стенок полуковша

Используя (2-4), получим величину силы давления на профиль боковой стенки полуковша. Момент этой силы относительно оси OY определим, учитывая, что угол α_{II} мал:

$$M_{oy}(\dot{P}_{II}) = -s_{II} d_{II} |A_2 B_2| \cdot \left(R - \frac{|A_1 B_1|}{2} \right), \quad (5)$$

$$|A_1 B_1| = \sqrt{(x_{A_1} - x_{B_1})^2 - (y_{A_1} - y_{B_1})^2}, \quad x_{A_1} = H \operatorname{ctg} j, \quad x_{B_1} = R \cos j, \quad z_{B_1} = R \sin j. \quad (6)$$

Из (5-6) видно, что момент сил сопротивления вдавливанию изучаемого профиля зависит от свойств грунта, глубины погружения рабочего органа и его размеров.

Отметим, что выражение для главного момента сил сопротивления \tilde{M}_{oy} должно содержать удвоенное значение осевого момента $M_{oy}(\dot{P}_{II})$, поскольку у рабочего органа имеются две боковые стенки. Пренебрегая небольшим отклонением боковых стенок полуковша от вертикали, получаем нулевой момент силы давления грунта на внешней и внутренней поверхности боковых стенок.

Для вычисления главного момента сил трения на внешней боковой поверхности полуковша рассмотрим область $A_2 A_4 B_3 B_2$, погруженную в

почву (рисунок 2), обозначив точки разбиения на дуге полуковша M_1, M_2, \dots, M_N . Боковая поверхность полуковша разбивается на секторы с углом $\Delta\alpha_{\Pi_i}$ при вершине.

Для любого i -го элемента разбиения сила сопротивления равна векторной сумме тангенциальной и нормальной составляющих

$$\dot{P}_i = \dot{P}_{n_i} + \dot{P}_{t_i} . \quad (7)$$

Величина $P_t = fP_n$, где f - коэффициент трения скольжения пары грунт-металл. Если известна удельная сила давления на боковые стенки $s_{\Pi 2}$, то, вычислив S_i - площадь элементарной ячейки разбиения, получим $P_{n_i} = s_{\Pi 2} \cdot S_i$ и $P_{t_i} = fs_{\Pi 2} \cdot S_i$.

Момент сил сопротивления приложенных к i -ому элементу относительно оси OY равен

$$M_{oy}(\dot{P}_{t_i}) = -P_{t_i} \cdot |OC_i| = -fs_{\Pi 2} S_i \cdot |OC_i| , \quad (8)$$

где $|OC_i|$ - расстояние от точки O до центра параллельных сил в i -ой ячейке - точки приложения силы \dot{P}_{t_i} .

В (8) учтено, что вектор \dot{P}_{t_i} перпендикулярен $|OC_i|$, поскольку, с одной стороны, отрезок $|OC_i|$ перпендикулярен вектору \dot{V}_{C_i} , где \dot{V}_{C_i} - скорость скольжения центра i -го элемента, с другой стороны, вектор \dot{P}_{t_i} параллелен вектору \dot{V}_{C_i} .

Вычислим величины S_i и $|OC_i|$, полагая, что при достаточно большом числе элементов разбиения, каждый из них можно считать сектором круга с радиусом $|O_3M_i|$. Тогда площадь сектора

$$S_i = \pi \cdot |O_3M_i|^2 \cdot \frac{\Delta\alpha_{\Pi_i}}{2\pi} , \quad |O_3M_i| = \rho_i = \rho(\alpha_{\Pi_i}) . \quad (9)$$

Радиус полуковша переменный, он определяется с использованием функции $\rho = \rho(\alpha_{\Pi})$ - индивидуальной характеристикой рабочего органа.

Координаты центра параллельных сил, приложенных к i -ому элементу, можно получить, используя очевидные векторные равенства

$$\mathbf{r}_{OM_i} = \mathbf{r}_{OO_3} + \mathbf{r}_{O_3M_i}, \quad \mathbf{r}_{OC_i} = \mathbf{r}_{OO_3} + \mathbf{r}_{O_3C_i}. \quad (10)$$

Имеем

$$x_{C_i} = |OO_3| \cos(j + g_{II}) + |O_3C_i| \cos(j + a_{II_i} + \frac{\Delta a_{II_i}}{2}); \quad g_{II} = \arctg \frac{l_{II} / 2}{|OO_1|};$$

$$z_{C_i} = |OO_3| \sin(j + g_{II}) + |O_3C_i| \sin(j + a_{II_i} + \frac{\Delta a_{II_i}}{2}); \quad |O_3C_i| = \frac{2}{3} \frac{|O_3M_i| \sin(\frac{\Delta a_{II_i}}{2})}{\Delta a_{II_i} / 2}.$$

Величина $|OC_i| = \sqrt{x_{C_i}^2 + z_{C_i}^2}$.

Главный момент сил сопротивления боковых поверхностей полуковша равен $2 \sum_{i=1}^N M_{oy}(\mathbf{P}_{t_i})$. В алгоритме расчёта следует учесть, что формула (7) справедлива для элемента полностью погружённого в почву. Элементы, не имеющие контакта с грунтом, свободны от внешних усилий, здесь $\mathbf{P}_{t_i} = 0$ и $M_{oy}(\mathbf{P}_{t_i}) = 0$. Приближенно будем полагать, что если $z_{C_i} < H$, то i -ый элемент боковой поверхности полуковша, свободен от усилий (находится выше уровня почвы).

Сопротивление внутренней и внешней рабочей поверхности полуковша. Рассмотрим внутреннюю рабочую поверхность полуковша (рисунок 3а). Воспользуемся разбиением кривой $\rho = \rho(\alpha)$, описанным выше. Построим элементы разбиения, имеющие в плане вид прямоугольников, если число элементов достаточно велико. Ширина этих прямоугольников δ_K или d'_K , а высота, совпадающая с $|M_i M_{i+1}| \approx r_i \Delta a_{II_i}$.

Площадь элементов разбиения полуковша равна $S_i = d_K r_i \Delta a_{II_i}$ и $S'_i = d'_K r_i \Delta a_{II_i}$. Сила сопротивления грунта элементу полуковша с номером i может быть разложена на нормальную и касательную составляющие (рисунок 3б):

$$\dot{P}_{K_i} = \dot{P}_{K_{t_i}} + \dot{P}_{K_{n_i}}; P_{K_{n_i}} = s_K S_i = s_K (d_K + 2d'_K) r_i \Delta a_{\Pi_i}, P_{K_{t_i}} = f s_K (d_K + 2d'_K) r_i \Delta a_{\Pi_i}, \quad (11)$$

где s_K - удельное сопротивление движению полуковша, f - коэффициент трения металл-грунт.

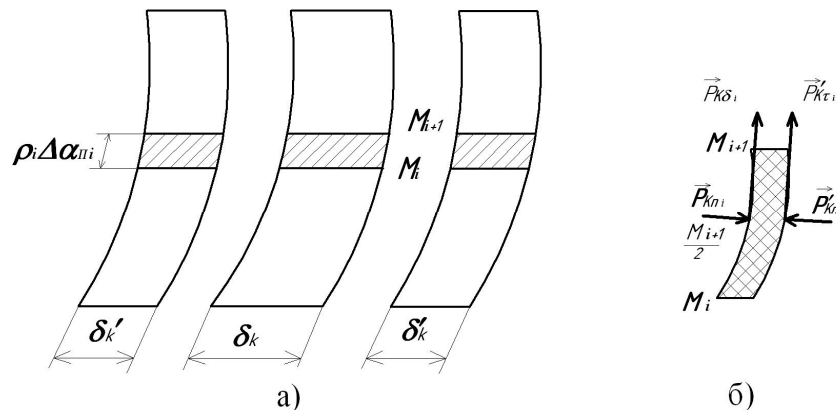


Рисунок 3 – К расчету сопротивления элементов внутренней и внешней рабочей поверхности полуковша: а) вид спереди; б) вид сбоку

Сумму моментов сил нормального давления на внешней и внутренней поверхностях i -го элемента полуковша можно приблизительно считать равной нулю, полагая $|\vec{P}_{K_{n_i}}| \approx |\vec{P}_{K_{\tau_i}}|$ (рисунок 3б).

Момент относительно оси OY силы \dot{P}_{τ_i} определим следующим образом

$$M_{Oy}(\dot{P}_{K_{t_i}}) = z_{M_{i+\frac{1}{2}}} P_{K_{t_{ix}}} - x_{M_{i+\frac{1}{2}}} P_{K_{t_{iz}}}. \quad (12)$$

Здесь $z_{M_{i+\frac{1}{2}}}$, $x_{M_{i+\frac{1}{2}}}$ - координаты точки на поверхности полуковша, расположенной посередине между точками M_i и M_{i+1} . Текущее значение этих координат можно определить, используя соотношения

$$x_{M_i} = |O_3 M_i| \cdot \cos(j + a_{\Pi_i} + \frac{\Delta a_{\Pi_i}}{2}) + |OO_3| \cdot \cos(j + g_{\Pi}), \quad (13)$$

$$z_{M_i} = |O_3 M_i| \cdot \sin(j + a_{\Pi_i} + \frac{\Delta a_{\Pi_i}}{2}) + |OO_3| \cdot \sin(j + g_{\Pi}), g_{\Pi} = \arctg \frac{l_{\Pi} / 2}{|OO_1|}. \quad (14)$$

Проекции $P_{K_{t_{ix}}}$ на оси координат имеют вид

$$P_{Kt_{ix}} = |P_{Kt_i}| \cdot \cos(j + a_{\Pi_i} + \frac{\Delta a_{\Pi_i}}{2} + \frac{p}{2}), \quad (15)$$

$$P_{Kt_{iy}} = |P_{Kt_i}| \cdot \sin(j + a_{\Pi_i} + \frac{\Delta a_{\Pi_i}}{2} + \frac{p}{2}). \quad (16)$$

Момент относительно оси $OУ$ силы трения скольжения \dot{P}_{Kt_i} , приложенной к i -му элементу внешней поверхности полуковша можно определить по формулам (12-16), при этом толщиной элементов по сравнению с плечом $\left| OM_{i+\frac{1}{2}} \right|$ можно пренебречь.

Главный момент сил сопротивления движению полуковша должен содержать сумму моментов сил трения, приложенных к элементам, погруженным в почву, для которых справедливо условие $z_{M_{i+\frac{1}{2}}} > H$. Следует учесть вклад сил сопротивления с внешней и внутренней стороны элементов трёх полос полуковша, так что в качестве $|P_{Kt_i}|$ в выражениях (15) и (16) должна фигурировать величина

$$|P_{Kt_i}''| = (f + f') \cdot s_K \cdot (d_K + 2d'_K) \cdot r_i \cdot \Delta a_{\Pi_i}, \quad (17)$$

где f, f' - коэффициент трения скольжения металла о грунт с внутренней и внешней стороны полуковша, δ_K и δ'_K - ширина полос полуковша, σ_K - удельная сила сопротивления движению полуковша.

Сопротивление лезвий с режущей кромкой. Рассмотрим процесс резания грунта клиновидным лезвием. Предположим, что главный вклад в величину момента сил сопротивления резанию дают нормальные компоненты сил, приложенные к режущей кромке резца, так что влиянием сопротивления на верхней и нижней фасках режущего элемента можно пренебречь.

На фаске лезвия лобовая сила сопротивления считается преобладающей, поэтому

$$\dot{P}_P = \dot{P}_{Pn} + \dot{P}_{Pt} \approx \dot{P}_{Pn}, \quad \left| \dot{P}_{Pn} \right| = s_P d_P l_P, \quad (18)$$

где P_p - сила сопротивления, приложенная к лезвию реза, δ_p - высота лезвия, l_p - длина лезвия, σ_p - удельное сопротивление резания.

Величина удельного нормального сопротивления резанию σ_p из-за наличия корней саженцев σ_p изменяется вдоль лезвия.

Представим σ_p в виде функции

$$s_p = s_{p_{2p}}(1 - U(x, y, z)) + s_{p_{кор}}U(x, y, z). \quad (19)$$

Здесь $U(x, y, z)$ - единичная функция, принимающая значения либо 0, либо 1. $U(x, y, z) = 0$, если точка, принадлежащая лезвию с координатами (x, y, z) , взаимодействует с почвой. $U(x, y, z) = 1$, если в данной точке лезвие контактирует с корнем саженца. Величины $\sigma_{p_{2p}}$ и $\sigma_{p_{кор}}$ представляют собой удельное сопротивление резанию при контакте лезвия с грунтом и корнем. Значения $\sigma_{p_{2p}}$ и $\sigma_{p_{кор}}$ зависят, как известно, от многих факторов.

В работах [2-6] показано, что на силу резания существенно влияет угол резания. Анализ опытных данных позволил автору работы [2] получить зависимость силы лобового сопротивления ножу от угла резания грунта.

Угол резания реза рабочего органа a_p рассматриваемого типа в процессе выемки грунта не остается постоянным. Его значение можно определить из геометрических соображений, рассматривая треугольник OB_4B_1 (рисунок 4):

$$a_p = \begin{cases} j - 81^\circ, & \text{если } j \geq 81^\circ \\ 81^\circ - j, & \text{если } j < 81^\circ \end{cases}. \quad (20)$$

По классификации процессов резания, предложенной академиком В. П. Горячкиным исследуемый процесс выкопки крупномерного саженца с комом почвы представляет собой резание со скольжением (лезвие перемещается не по направлению нормали к его кромке, а дополнительно смещается параллельно кромке) [3,6].

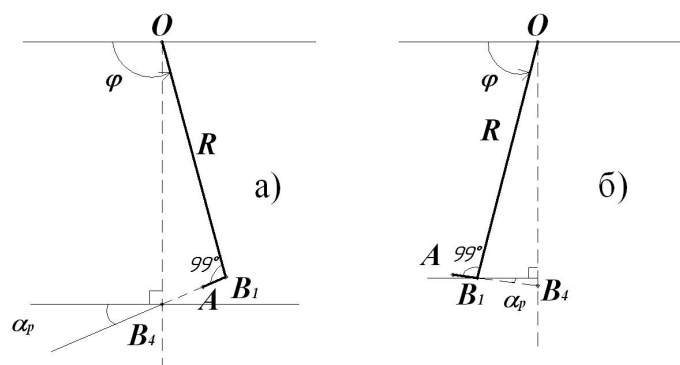


Рисунок 4 – К определению угла резания рабочего органа

Для характеристики процесса скользящего резания используется так называемый коэффициент скольжения $e = \frac{V_t}{V_n}$, где V_t и V_n - тангенциальная и нормальная (по отношению к кромке лезвия) составляющие вектора скорости частицы лезвия. В работе [2,3,6] показано, что при изменении соотношения между нормальным и касательным перемещениями лезвия угол его заточки в направлении результирующего перемещения трансформируется. Чем больше e , тем более значима трансформация угла заточки и тем меньше усилие резания.

Угол заточки β также имеет важное значение для процесса резания. В [3] введено понятие коэффициента трансформации k , как отношение разницы между исходным β и трансформированным β_1 углами заточки к исходному углу заточки

$$k = \frac{\beta - \beta_1}{\beta} = \frac{\beta - \arctg(\tgb \cdot \text{cost})}{\beta}, \quad t = \arctge. \quad (21)$$

Имеющиеся опытные данные, например, Т. И. Егоровой [3], позволяют получить аппроксимирующую зависимость нормальной силы резания от угла заточки β и коэффициента скольжения ε , или от коэффициента трансформации k и коэффициента скольжения ε . Примем, что удельное сопротивление резанию является функцией угла резания α_p , угла заточки β и коэффициента скольжения ε

$$s_p = s_p(a_p, b, e). \tag{22}$$

В рассматриваемом процессе выкопки саженцев часть элементов лезвия разрезает корни, другая часть почву. Для моделирования этого процесса выполним разбиение фаски лезвия на N участков. Для i -го участка ($i=1, \dots, N_p$) определим момент нормальной силы сопротивления резанию $\dot{P}_{P_i} \cong \dot{P}_{P_{n_i}}$ относительно оси OY , считая силу приложенной в центре режущей кромки i -го участка.

$$M_{OY}(\dot{P}_{P_i}) = z_i P_{P_{n_i}} \cos(\dot{n}, x) - x_i P_{P_{n_i}} \cos(\dot{n}, z), \tag{23}$$

где x_i, z_i - координаты точки приложения силы $\dot{P}_{P_{n_i}}$, \dot{n} - вектор внешней нормали к плоскости лезвия.

Для того чтобы определить проекции вектора \dot{n} на оси координат в любой момент времени, составлено уравнение плоскости фаски лезвия в текущем положении $D'A'O'C$ (рисунок 5) в системе координат $XYZO$, оси которой параллельны осям неподвижной системы координат.

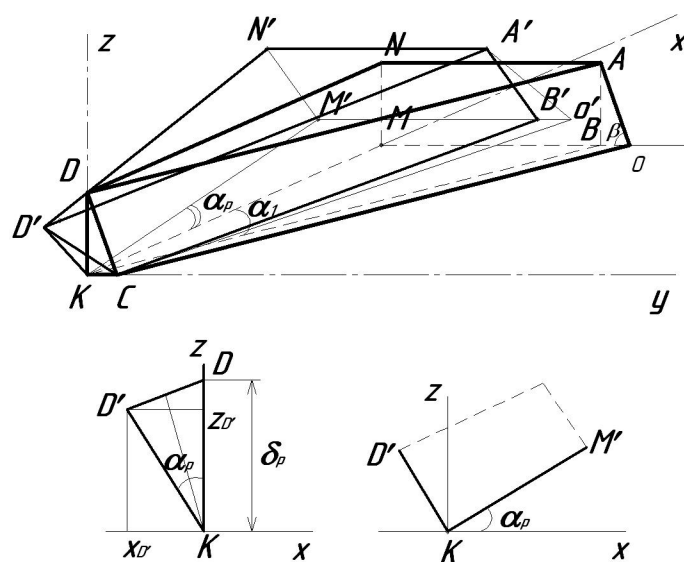


Рисунок 5 – К расчёту проекций вектора единичной нормали к поверхности лезвия

Для вычисления главного момента сил сопротивления к поверхности рассматриваемого лезвия относительно оси OY $\sum_{i=1}^{N_p} M_{oy}(\mathbf{P}_{Pn_i})$ необходимо сложить выражения типа (23). Для остальных трёх кромок лезвий необходимо проделать аналогичные действия.

Удельное сопротивление резанию материалов грунта и корней растений различно, поскольку различны их физико-механические свойства. Для моделирования неоднородного и нестационарного поля сил сопротивления резанию предлагается расчётный алгоритм, учитывающий задаваемое случайным образом расположение элементов корневой системы саженцев.

Пусть прямоугольник $A'B'C'D'$ (рисунок 6а) ограничивает участок, где происходит выемка грунта вместе с растением (вид сверху). Стороны этого прямоугольника $|B'C'| = |A'D'| = s$, где s – ширина ковша, $|A'B'| = |C'D'| = L$, величина $L = 2 \cdot \sqrt{R^2 - H^2}$.

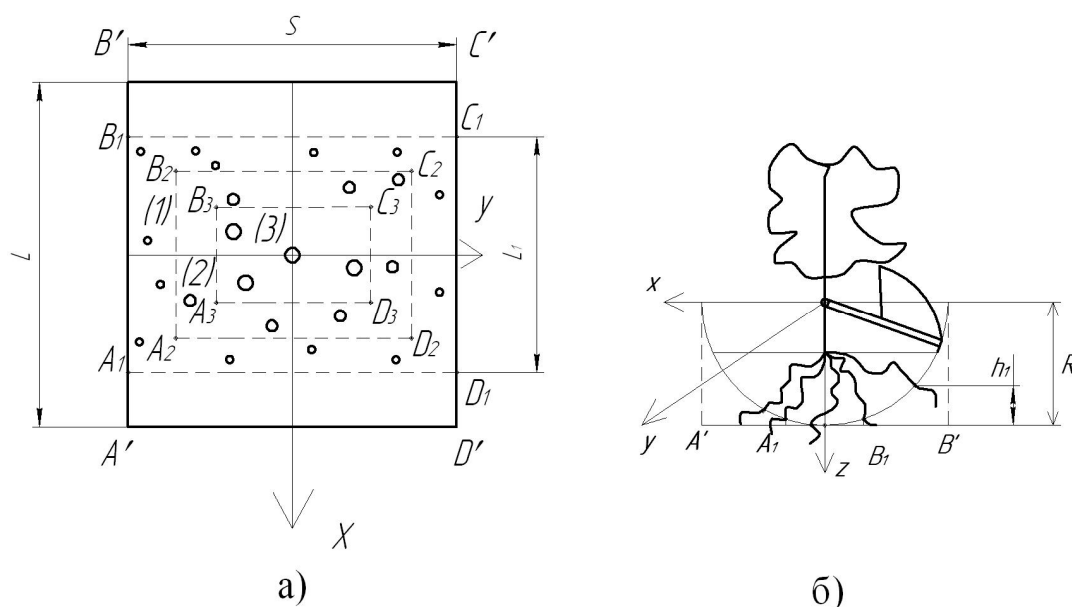


Рисунок 6 – Схема участка грунта с корневой системой саженца - (а); зона среза корневой системы (б)

Для определённости предположим, что корни саженца располагаются, в основном, в зоне $A_1B_1C_1D_1$. Выделим внутри этой зоны три подобласти, в каждой из которых преобладают корни со средним значением диаметра d_1, d_2, d_3 (количество подобластей можно варьировать). При этом в зоне (3) - $A_3B_3C_3D_3$, как правило, располагаются корни более крупного диаметра d_3 , в зоне (2) – меньшего диаметра d_2 , в зоне (1) – мелкие корни диаметра d_1 . Предположим, что в зоне среза при $R - h_1 \leq z \leq R$ (рисунок 6б) диаметр корня по высоте практически не изменяется.

Координаты центров поперечного сечения корней $(\tilde{x}_k, \tilde{y}_k)$, где $k=1...K$ могут быть заданы с помощью генератора случайных чисел для каждой из трёх зон участка $A_1B_1C_1D_1$.

Предположим, что момент резания корня наступает или продолжается при выполнении условия следующего вида

$$\sqrt{(\tilde{x}_k - x_{M_j})^2 + (\tilde{y}_k - y_{M_j})^2} \leq d_k / 2, \quad \sqrt{(\tilde{x}_k - x_{L_i})^2 + (\tilde{y}_k - y_{L_i})^2} \leq d_k / 2, \quad (24)$$

где $(\tilde{x}_k, \tilde{y}_k)$ - координаты центра поперечного сечения корня с номером K ; (x_{M_j}, y_{M_j}) - текущие координаты центра участка с номером j , расположенного на острие режущей кромки QM , полученного при разбиении отрезка QM точками $M_0, M_1, \dots, M_j, \dots, M_J$, $j=0, \dots, J$; (x_{L_i}, y_{L_i}) - текущие координаты центра участка с номером i , расположенного на острие режущей кромки QT , полученного при разбиении отрезка QT точками $L_0, L_1, \dots, L_i, \dots, L_I$, $i=0, \dots, I$.

Для оценки условий типа (24) для обоих резцов необходимо определить закон движения точек M_j ($i=1, \dots, J$) и L_i ($i=1, \dots, I$). Примем за полюс точку M (рисунок 7б), расположенную на нижней поверхности резца. Точка M – общая для двух резцов, она принадлежит плоскости

симметрии рабочего органа. Координаты точки M совпадают с координатами B_2 (рисунок 2)

$$x_M = R \sin j + \frac{l_{II}}{2} \sin j, \quad y_M = 0, \quad z_M = R \sin j + \frac{l_{II}}{2} \cos j. \quad (25)$$

Введем для удобства подвижную систему координат $x'MY'Z'$ с осями, параллельными неподвижным осям $HOYZ$. Используя очевидные векторные соотношения (рисунок 7а)

$$\mathbf{r}_{M_j} = \mathbf{r}_M + \mathbf{r}_{MN} + \mathbf{r}_{NN_j} + \mathbf{r}_{N_jM_j}, \quad \mathbf{r}_{L_i} = \mathbf{r}_M + \mathbf{r}_{MT} + \mathbf{r}_{TN} + \mathbf{r}_{NN_i} + \mathbf{r}_{N_iL_i}, \quad (26)$$

получим текущие координаты точек разбиения M_j ($j=1, \dots, J$) и L_i ($i=1, \dots, I$) на нижней грани резца в виде

$$\begin{aligned} x_{M_j} &= x_M + |MM_j| \cos \alpha_2 \cdot \cos(j - \frac{\pi}{2}), \quad y_{M_j} = -|MM_j| \sin \alpha_2, \\ z_{M_j} &= z_M + |MM_j| \cos \alpha_2 \sin(j - \frac{p}{2}). \\ x_{L_i} &= x_M + |TL_i| \cos \alpha_1 \cos(j - \frac{p}{2}), \quad y_{L_i} = -|MT| + |TL_i| \sin \alpha_1, \\ z_{L_i} &= z_M + |TL_i| \cos \alpha_1 \sin(j - \frac{\pi}{2}). \end{aligned} \quad (27)$$

Для второго резца, симметричного рассмотренному, координаты точек \tilde{M}_j и \tilde{L}_i связаны с координатами точек M_j и L_i следующим образом

$$x_{M_j} = x_{\tilde{M}_j}; \quad y_{M_j} = -y_{\tilde{M}_j}; \quad z_{M_j} = z_{\tilde{M}_j}; \quad x_{L_i} = x_{\tilde{L}_i}; \quad y_{L_i} = -y_{\tilde{L}_i}; \quad z_{L_i} = z_{\tilde{L}_i}.$$

Таким образом, по заданному множеству $(\tilde{x}_k, \tilde{y}_k)$, $k = 1, \dots, K$ и геометрическим характеристикам резцов для любого положения рычага рабочего органа можно определить с использованием (24-26), осуществляет ли элемент лезвий срез корня растения, или он участвует в процессе резания почвы.

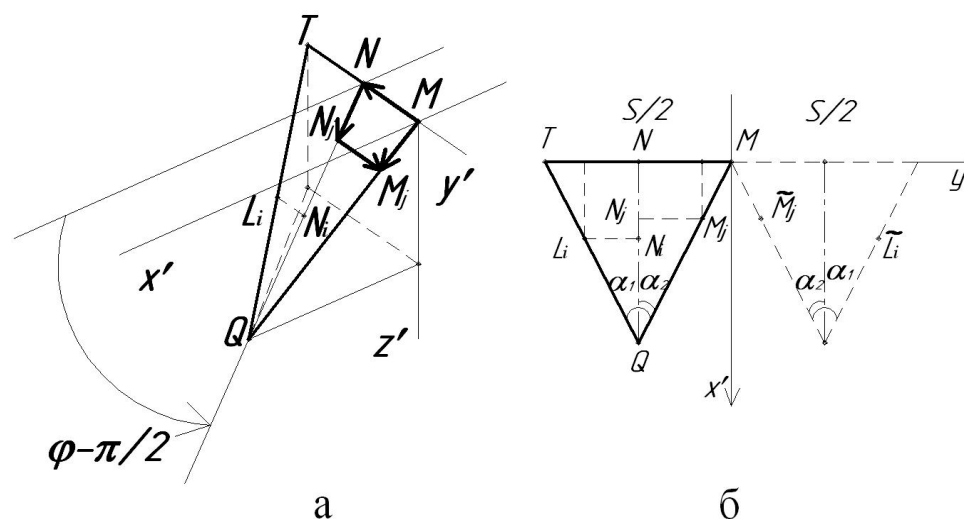


Рисунок 7 – К расчёту координат центров отрезков разбиения режущих кромок лезвия: QTM - нижняя грань резца.

Заключение. Предложенная математическая модель позволяет получить закон движения рычага выкопчной машины в зависимости от непрерывно изменяющихся условий взаимодействия рабочего органа с почвой и корнями растений. Для изучаемого рабочего органа выкопчной машины получены необходимые для исследования модели выражения *главных моментов сил сопротивления*

- вдавливанию рабочего периметра полуковша;
- перемещению внутренней и внешней рабочей поверхности полуковша;
- резанию почвы и корней растений.

Величина сил сопротивления может быть определена на основе известных методик. Модель учитывает нестационарное и случайное распределение величины удельного сопротивления резанию вдоль кромки лезвия. Элементы лезвия могут находиться в контакте с материалом грунта и корня. Учтено, что четыре режущих кромки рабочего органа осуществляют скользящее резание.

Нелинейное дифференциальное уравнение (1) может быть решено с использованием численных методов. Анализ решения позволит

усовершенствовать конструктивные элементы рабочего органа, а также выбрать наиболее энергоэффективные режимы работы выкопчной машины.

Список литературы

1. Драпалюк М. В., Попиков П. И., Кондратов М. В. Математическая модель процесса подрезки корней сеянцев и саженцев в питомниках // Известия высших учебных заведений. Северо-Кавказский регион. Серия: Технические науки. 2006. № 53. С 111-114.
2. Ветров Ю. А. Резание грунтов землеройными машинами. М.: Машиностроение, 1971. 357 с.
3. Резник Н. Е. Теория резания лезвием и основы расчёта режущих аппаратов. М.: Машиностроение, 1975. 311 с.
4. Зеленин А. Н. Физические основы теории резания грунтов. Ленинград: Издательство академии наук СССР, 1950. 354 с.
5. Дорожные машины. Теория, конструкция и расчёт / Н. Я. Хархута, М. И. Капустин, В. П. Семенов, И. М. Эвентов. – Л.: Машиностроение, Ленинград. отделение, 1976. 472 с.
6. Горячкин В. П. Собрание сочинений/ М.: Колос, 1968. 465 с.